

Verlustminimierung von Ferriten: Wirkungsgrade steigern

# Dimensionierung von Ferritmaterialien für Stromversorgungen

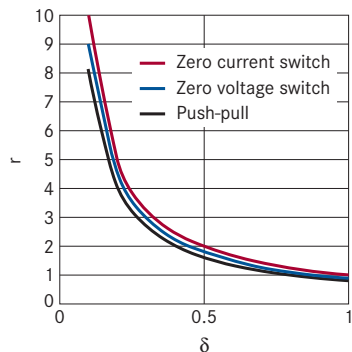


Abbildung 6:  $r$  über  $\delta$  für verschiedene Stromversorgungstopologien

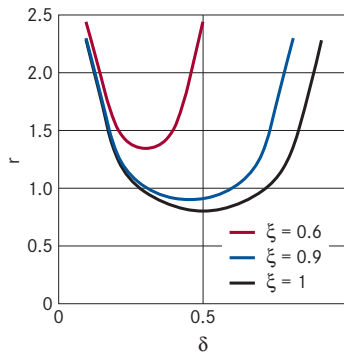


Abbildung 7:  $r$  über  $\delta$  für verschiedene  $\zeta$ -Werte

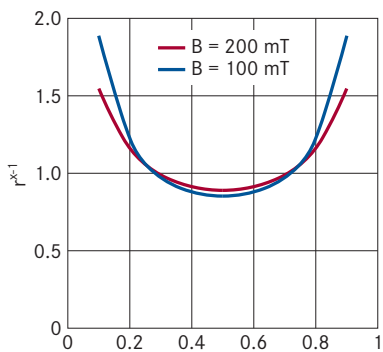


Abbildung 8: Änderung von  $r^{-1}$  vs  $\delta$  mit einer Flussdichte für Sperrwandler für N97 bei 100 °C

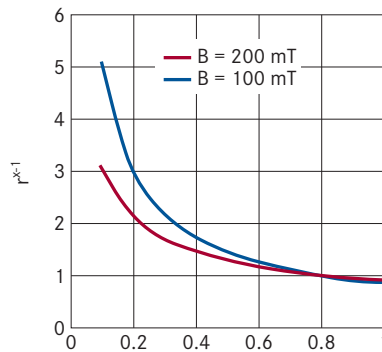


Abbildung 9: Änderung von  $r^{-1}$  vs  $\delta$  mit einer Flussdichte für Gegentaktwandler für N97 bei 100 °C

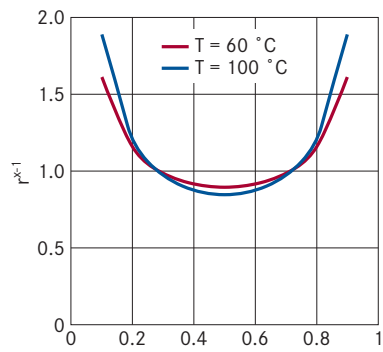


Abbildung 10: Änderung von  $r^{-1}$  vs  $\delta$  mit Temperatur für Sperrwandler für N97 bei 100 mT

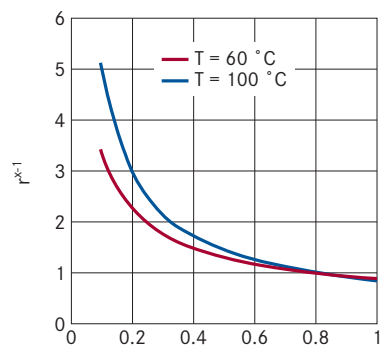


Abbildung 11: Änderung von  $r^{-1}$  vs  $\delta$  mit Temperatur für Gegentaktwandler für N97 bei 100 mT